


Buch-Seite	Fehler / Korrektur	Datum
36	falscher Bildverweis: Die Wurzelkennlinie ist in Bild 2-12 dargestellt, nicht 2-14. Beispiele solcher Kennlinien bilden die Magnetisierungskennlinie in Bild 2-2 sowie die Wurzelkennlinie $q_a = a\sqrt{2gh}$ in Bild 2-14. Einige andere häufig vor-	31.03.2021
40	Zeile 3 der zweiten Spalte: Innerhalb der eckigen Klammer ist die komplexe Variable „s“ versehentlich großgeschrieben. $Y = \frac{K}{T_S} \left[\frac{1}{T_S} \left(U - \frac{1}{K} Y \right) - \frac{2d}{K} Y \right]$ 	22.02.2020
56	u2 sollte an zweiter Stelle stehen. $y = \varphi\{u_1, 0, \dots, 0\} + \varphi\{u_2, 0, \dots, 0\} + \dots + \varphi\{0, \dots, 0, u_p\}$	31.03.2021
79	Tippfehler in Gleichung 2.125. Das letzte τ gehört in den Exponenten.	02.03.2017
87	Linke Spalte Mitte: Im Zähler der Übertragungsfunktion fehlt nach b_1 ein s . $Y(s) = G(s)U(s) = \frac{b_0 + b_1 s + \dots + b_m s^m}{a_0 + a_1 s + \dots + a_n s^n} \cdot \frac{1}{s - \eta}$	16.12.2018
100	Linke Spalte: In dem auf den 2. Absatz folgenden Beispiel müssen K und T_i als positiv vorausgesetzt werden: $K e^{-T_i s} + 1 = 0, \quad K, T_i > 0.$	26.02.2021
103	Rechte Spalte. In Gl. (3.74) fehlt links $G(s)$: $G(s) = \int_0^\infty g(t) e^{-st} dt.$	26.02.2021
106	Linke Spalte: In der markierten Formel fehlt rechts die schließende eckige Klammer. Fall II: $q = 1$. Dann ist $F_o(j\omega) = -\frac{V}{\omega} j [1 + (b_1 - a_1) j \omega]$, also $F_o(j\omega) = V(b_1 - a_1) - \frac{V}{\omega} j.$	19.05.2020
121	rechte Spalte, Mitte: Ein Leerzeichen nach dem Punkt fehlt. Das ist erst der Fall, wenn man von der Ortskurve des offenen Kreises zu seinen Frequenzkennlinien übergeht, was – überschlägig gesagt – dadurch geschieht, dass man den Frequenzgang des offenen Kreises in Betrag und Phase (Argument) zerlegt und diese beiden Funktionen von ω als Kurven über der ω -Achse aufträgt. Für die Frequenzkennlinien gibt es einfache mathematische Näherungskonstruktionen, die einen Vorzug der Frequenzkennlinien gegenüber der Ortskurve darstellen. Die Parameter des offenen Kreises,	31.03.2021

139	linke Spalte oben: im Satz (4.26): „des“ anstatt „der“ <i>Gelten die Voraussetzungen von (4.25), so ist der Regelkreis mit Sicherheit instabil, wenn rechts von der j-Achse eine ungerade Anzahl von Polen der offenen Kreises liegt.</i> (4.26)	31.03.2021
184	Tabelle 6-1: Die Klammer beim verallg. PID-Regler ist zuviel. <div style="display: flex; align-items: center; justify-content: center;"> <div style="border-left: 1px solid black; border-right: 1px solid black; padding: 0 10px;"> Verallgemeinerter PID-Regler </div> <div style="margin: 0 10px;"> </div> $K_R \frac{1 + 2d_Z T_Z j\omega + T_Z^2(j\omega)^2}{1 + 2d_N T_N j\omega + T_N^2(j\omega)^2}$ <div style="border-left: 1px solid black; border-right: 1px solid black; padding: 0 10px;"> </div> </div>	31.03.2021
188	falscher Verweis im 1. Satz von Abschnitt 6.6: Statt 5.6 muss es 4.6 heißen. Geht man vom Nyquist-Kriterium in Frequenzkennliniendarstellung aus, wie es in Abschnitt 5.6 formuliert wurde, so gibt es grundsätzlich drei Möglichkeiten der Stabilisierung:	31.03.2021
200	Tabelle 6-2: Im zweiten Integral muss der Integrand $E(j\omega) * E(-j\omega)$ lauten: $J_n = \int_0^{\infty} e^2(t) dt = \frac{1}{2\pi} \int_{-\infty}^{\infty} E(j\omega)E(-j\omega) d\omega$	17.02.2020
202	rechte Spalte, Mitte: statt $F(w)$ muss es $F(j\omega)$ heißen Der Idealfall wird durch $F_w(j\omega) \equiv 1$ gekennzeichnet, da alsdann $X(j\omega) \equiv W(j\omega)$ und damit $s(t) \equiv w(t)$ sind. Aus $F_w(\omega) \equiv 1$ folgt $ F_w(j\omega) \equiv 1$. Die Umkeh-	31.03.2021
283	linke Spalte, 15. Zeile von unten: „gemäß (8.75) durch“ -> „gemäß (8.57) durch“	01.03.2020
378, 381	2 x Silbentrennung : Seite 378, rechte Spalte, 22ste Zeile von oben: "Model-labweichungen" -> "Modell-abweichungen" Seite 381, linke Spalte, 7te Zeile von unten: "Model-lunsicherheit" -> "Modell-unsicherheit"	26.01.2017
406	In Gleichung (11.22) muss unter dem Integral $f(\tau)$ statt $f(t)$ stehen.	30.03.2021